

# 2 (1H) - KİNOKSALİNON OKSİM VE BENZEN - 1,2 - BİS (AMİNDGLİOKSİM) İN SENTEZİ İLE REAKSİYONLARININ İNCELENMESİ

Ahmet KOÇAK

KARADENİZ ÜNİVERSİTESİ FEN BİLİMLERİ ENSTİTÜSÜNCE  
**« DOKTOR »**  
ÜNVANININ VERİLMESİ İÇİN KABUL EDİLEN TEZDİR

Tezin Enstitüye verilişi : 21 Mayıs 1984

Tezin sözlü savunması : 17 Eylül 1984

Doktora Yöneticisi : Prof. Dr. Özer BEKÂROĞLU (İTÜ)

Jüri Üyesi : Prof. Dr. Necla GÜNDÜZ (AÜ)

Jüri Üyesi : Prof. Dr. Aykut İKİZLER (KÜ)

Bu çalışma İTÜ. Fen-Edebiyat Fakültesi Kimya Bölümü Başkanı Prof.Dr. Özer BEKAROĞLU yönetiminde, İTÜ. Fen-Edebiyat Fakültesi Kimya Bölümü ve KÜ. Fen-Edebiyat Fakültesi Kimya Bölümünde yapılmıştır.

Bu çalışmanın bazı bölümleri

1. Ahmet KOÇAK and Özer BEKAROĞLU

"Synthesis of Benzene-1,2-bis(aminoglyoxime) and Its Complexes with Nickel (II), Copper (II), Cobalt (II), Cadmium (II), Zinc (II), and Uranyl (VI)."

Synthesis and Reactivity in Inorganic and Organo-metallic Chemistry, USA.

Jurnalince kabul edilmiş olup baskıdadır.

2. Ahmet KOÇAK and Özer BEKAROĞLU

"Synthesis of *s*-Tetrazino[1,6-a: 4,3-a']-diquinoxaline"  
Uluslararası journale gönderilmiştir.

## T E S E K K Ü R

Doktaro tezimi yöneten, çalışmalarım boyunca her türlü ilgi yardımlarını esirgemeyen İTÜ. Fen-Edebiyat Fakültesi Kimya Bölümü Başkanı Sayın Hocam Prof.Dr. Özer BEKAROĞLU'na sonsuz şükranımı sunarım.

Çalışmalarım sırasında büyük ilgisini gördüğüm İTÜ. Fen-Edebiyat Fakültesi Kimya Bölümü Anorganik Kimya Bilim Dalı elemanlarına başta Dr. Ahmet GÜL olmak üzere teşekkür ederim.

Ayrıca elde ettiğim bazı komplekslerin magnetik momentlerini ölçülmescini sağlayan AÜ. Fen Fakültesi Kimya Bölümü Başkanı Sayın Hocam Prof.Dr. Neclâ GÜNDÜZ ve Analistik Kimya Bilim Dalı Başkanı Sayın Hocam Prof.Dr. Turgut GÜNDÜZ'e teşekkür ederim.

Yine çalışmalarım sırasında yardımcılarını gördüğüm Anorganik Kimya Bilim Dalı elemanlarına başta Dr. Yaşar GÖK, n.m.r. spektrometristlerini alan Dr. Ragıp ASLAN, u.v.-visible spektrumlarını alan Dr. Gör. Neşe DİŞÇİOĞLU'na teşekkür ederim.

Ayrıca çalışmalarımla ilgili gerekli izinleri veren KÜ. Fen-Edebiyat Fakültesi Dekanlığına, Sayın Dekan Prof.Dr. Mustafa LANER'e, Kimya Bölümü Başkanı Sayın Prof.Dr. Aykut İKİZLER ve diğer kurul üyelerine, Kimya Bölümündeki çalışma arkadaşlarına teşekkür ederim.

Ahmet KOÇAK

## İÇ İNDEKİLER

### ÖZET

SUMMARY.....	III
1. GİRİŞ.....	1
1.1. Oksimler ve Reaksiyonları.....	1
1.2. Oksimlerin Kompleksleri.....	5
1.3. Çalışmanın Amacı ve Kapsamı.....	8
2. KULLANTILAN MADDE VE ALETLER.....	10
3. DENEL BÖLÜM.....	11
3.1. 2(1H) KİNOKSALINON OKSIM (QH).....	11
3.2. 2(1H)-KİNOKSALINON OKSIM (QH)'İN GEÇİŞ METALLERİ İLE REAKSİYONLARI.....	12
3.2.1. QH IN Co(II) İLE REAKSİYONU.....	12
3.2.2. QH IN Ni(II) İLE REAKSİYONU.....	13
3.2.3. $\text{[QH}_2\text{CuCl}_2\text{]}_2$ .....	14
3.2.4. $(\text{QH})_2\text{CdCl}_2$ .....	14
3.2.5. $\text{[Q(Cl(H}_2\text{O)}\text{Zn}]}$ .....	15
3.3. BENZEN-1,2-BİS(AMİNOGLİOKSIM) SENTEZİ ( $\text{BH}_4$ ).....	15
3.4. BENZEN-1,2-BİS(AMİNOGLİOKSIM) ( $\text{BH}_4$ )'ÜN GEÇİŞ METALLERİ İLE KOMPLEKSLERİ.....	16
3.4.1. $(\text{BH}_2\text{Ni})_n$ .....	16
3.4.2. $(\text{BH}_2\text{Cu})_n$ .....	17
3.4.3. $(\text{BH}_2)\text{Co}_2\text{Cl}_2(\text{OH}_2)_2$ .....	17
3.4.4. $\text{BH}_2\text{Cd}$ .....	18
3.4.5. $\text{BH}_2\text{Zn}$ .....	19
3.4.6. $\text{[UO}_2\text{]}_2(\text{OH})_2\text{BH}_2\text{l}_n$ .....	19
4. SONUÇLARIN DEĞERLENDİRİLMESİ.....	21
4.1. 2(1H)-Kinoksalinonoksım ve Bunun Metallerle Reaksiyonu.....	21
4.2. Benzen-1,2-bis(aminogliksim) ( $\text{BH}_4$ ) ve Kompleksleri....	27
5. EKLER.....	32
6. REFERANSLAR.....	39
7. ÖZGEÇMİŞ.....	42

## ÖZET

Vic-dioksimler ve kompleksleri üzerinde yapılan yoğun çalışmaların bir devamı olarak, o-fenilendiamine 1 ve 2 anti-klorogliksim katılması sonucunda elde edilecek di- ve tetra-oksimlerin elde edilmesi amaçlanmıştır. Ancak, o-fenilendiaminin aşırısı ile anti-klorogliksim oda sıcaklığında reaksiyona sokulduğunda, reaksiyon asit klorürünün aromatik amine katılması kademesinde kalmayıp bir halka kapanması sonucu 2(1H)-kinoksalinonoksim (QH) oluşumuna kadar gitmiştir. Literatürde çok kademeli reaksiyonlarla elde edildiği belirtilen QH, bu yöntemle tek bir reaksiyonla oluşmaktadır.

Stokiomimetrik miktarlarda (1:2) o-fenilendiamin ile anti-klorogliksim -5 °C de karıştırılıp, ekivalent miktarda NaOH çözeltisi ilâve edildiğinde, benzen-1,2-bis(aminogliksim) ( $BH_4$ ) meydana gelmiştir. Elde edilen bu iki ligandın yapıları elementel analiz,  $^1H$ -n.m.r., i.r. ve u.v.-görünür bölge spektrumları yardımıyla aydınlatılmıştır.

QH'in etanol çözeltisi  $CoCl_2 \cdot 6H_2O$  ile reaksiyona sokulduğunda yeni bir heterosiklik halka sistemi olan s-tetrazino [1,6-a:4,3-a'] dikanoksalin (TAD) oluşmuştur. Bu bileşigin kütte spektrumunda  $M+2$  pikinin görülmesi, tetrazin türevleri için karakteristiktitir. QH'in  $NiCl_2 \cdot 6H_2O$  ile reaksiyonu bir taraftan TAD verirken, diğer taraftan elementel analiz sonucu  $C_{32}H_{20}N_{12}Ni$  kapalı formülüne uyan, fakat yapısı tam olarak açıklanamayan siyah bir kompleks de meydana getirir. QH'in Cu(II) ve Cd(II) ile elde edilen komplekslerinde metal-

ligand oranı 1:2 dir ve her metal için iki klorür iyonu bulunmaktadır. Cu(II) kompleksinin diamagnetik olması binükleer bir yapıının düşünülmesini gerektirir. Bu sonuçlara göre komplekslerin yapısı  $[(QH)_2Cl_2Cu]_2$  ve  $[(QH)_2Cl_2Cd]_2$  dir.

$BH_4^-$ 'ün Ni(II) ve Cu(II) komplekslerinde moleküldeki iki vic-dioksim gurubu izole vic-dioksimler gibi davranışarak polimer yapıda kompleksler vermektedir. Binükleer Co(II) kompleksinde metal iyonu vic-dioksimlerden birinin N, diğerinin O atomu ile koordinasyona girerek  $[(BH_2)Cl_2(H_2O)_2Co_2]$  formülü ile gösterilen yapıyı meydana getirir.  $BH_4^-$ 'ün Cd(II) ve Zn(II) kompleksleri mononükleerdir ve metal iyonu amino-N atomları ve oksim O-atomları ile koordinatif bağ oluşturur. Uranil kompleksinde hidrokso-köprüleri üzerinden polimerik bir yapı ortaya çıkar.  $BH_4^-$  kompleksleri incelediğinde, iki komşu vic-dioksim gurubunun Cu(II), Ni(II), Co(II) ve  $(UO_2)(VI)$  komplekslerinde iki izole vic-dioksim olarak hareket ederek, polinükleer kompleksler oluşturduğu, Cd(II) ve Zn(II) ise beraber koordinasyona girerek mononükleer kompleksler verdiği sonucuna varılmıştır.

Komplekslerin yapıları elementel analiz, magnetik ölçütler,  $^1H$ -n.m.r., i.r. ve u.v.-görünür bölge spektrumları vasıtasıyla incelenmiştir.

## SUMMARY

The synthesis and complex formation of various vic-dioximes have been the subject matter of great interest. X-ray structural analysis of Co(II) and Co(III) complexes of diaminoglyoxime has shown interesting features of vic-dioximes. The anti- and amphi-stereoisomers and complexes of 1,4-diphenyl-2,3-bis-(hydroxyimino) piperazine and 1,3-diphenyl-2-thioxo-4,5-bis(hydroxyimino) imidazoline have been isolated. Transition metal complexes of some macrocyclic vic-dioximes have been investigated.

At the begining, the scope of this work was to isolate the addition products of one and two anti-chloroglyoxime to o-phenylenediamine in order to obtain di- and tetra-oximes. However, the dioxime could not be obtained and after cyclization 2(1H)-quinoxalinone oxime (QH) was formed. The tetra-oxime was benzene-1,2-bis(aminoglyoxime) ( $BH_4$ ) with neighbouring two vic-dioximes.

The synthesis of 2(1H)-quinoxolinone oxime (QH) from 2-(hydroxyimino)-1,2,3,4-tetrahydroquinoxaline was previously reported. The tetrahydro-derivative was obtained from N-(cyano-methyl)-o-phenylenediamine and hydroxylamine by elimination of ammonia. After dehydrogenation with ethyl ester of azodicarboxylate ( $C_2H_5CO_2-N=N-CO_2-C_2H_5$ ), QH was prepared.

In this work, QH synthesis was accomplished in a one-step reaction.

QH was prepared through the reaction of anti-monochloroglyoxime with o-phenylenediamine. In this reaction while the easily

accessible addition reaction of acid chloride to one of the  $-NH_2$  group was taking place, the other  $-NH_2$  group reacted with one of the oxime groups by elimination of  $H_2N-OH$ . The formation of a six-membered quinoxaline ring probably directed this cyclization reaction. Similar reactions of oxime and amine groups were reported; e.g. the synthesis of quinoxaline derivatives from *o*-phenylenediamine and *a*-oxymino ketones.

In the i.r. spectrum of  $QH$ ,  $O-H$  stretching vibrations are observed at  $3220\text{ cm}^{-1}$ . Bands due to  $C=N$  and  $N-O$  stretches are at  $1628\text{ cm}^{-1}$  and  $982\text{ cm}^{-1}$ . These absorptions are in agreement with the previously reported amidoximes. In the  $^1H$ -n.m.r. spectrum of  $QH$ , the chemical shifts for  $OH$  and  $NH$  protons are observed at  $10.80$  and  $8.10\text{ ppm}$  respectively and they disappear by deuterium exchange. In addition to these two bands a singlet at  $7.80\text{ ppm}$  and a multiplet at  $7.6-6.7\text{ ppm}$  correspond to  $N=CH$  and aromatic protons.

*s*-Tetrazino [1,6-*a*:4,3-*a'*] diquinoxaline (TAD) came out as a product of the template effect of some transition metal ions, especially  $Co(II)$  and  $Ni(II)$ . When a solution of  $CoCl_2 \cdot 6H_2O$  in ethanol is added into a solution of  $QH$  in ethanol, the color of the solution gradually turned to dark red and bright crystalline organic compound precipitated. In the case of  $Co(II)$ , these crystals are pure organic substances. When  $NiCl_2 \cdot 6H_2O$  was used as the transition metal ion, a black  $Ni(II)$  complex also precipitated along with the organic compound obtained in the case of  $Co(II)$ . The elemental analytical results for the organic compound correspond to  $C_{16}H_{10}N_6$ .

In the i.r. spectrum,  $N-H$  and  $OH$  stretches were disappeared.  $C-H$  stretching vibrations were at  $3050\text{ cm}^{-1}$ .

$^1H$ -n.m.r. spectrum of  $C_{16}H_{10}N_6$  in  $CF_3COOH$  showed two types of protons other than the peak for solvent at  $10.5\text{ ppm}$ . The

multiplet at 8.5-7.7 ppm is due to aromatic protons and the singlet at 9.5 ppm is due to CH protons adjacent to azomethine bond. The ratio of CH: aromatic protons is 1:4. The chemical shifts are in agreement with the values reported for a similar compound, namely 1,2,4,5-tetrazino [1,6-c:3,2-c'] or [1,6-c:4,3-c']-diquinazoline.

The mass spectrum of  $C_{16}H_{10}N_6$  gave relatively intense  $M+2$  peak instead of M peak. This behavior is characteristic for s-tetrazines. There are many instances when a molecular ion peak is not recorded or is of very low abundance; instead a peak corresponding to the  $m/e$  value  $M+1$  is sometimes observed. This occurs in the spectra of some esters, ethers, amines, aminoesters and nitriles. It is due to the abstraction of a proton from a neutral molecule by the molecular ion. The presence of four nitrogen atoms in the tetrazine ring probably causes the abstraction of two protons. The fragmentation pattern of the molecule has been also postulated.

$Cu(II)$  and  $Cd(II)$  complexes of  $QH$  have a metal-ligand ratio of 1:2 and there is also 2 chloride ions for each metal ion.  $Cu(II)$  complex is found to be diamagnetic; therefore it should have a binuclear structure. Consequently  $[(QH)_2Cl_2Cu]_2$  and  $[(QH)_2Cl_2Cd]$  formulas are given.  $Zn(II)$  complex of  $QH$  is mononuclear and it coordinates through O-atom of oxime and N atom of amino-group  $[(Q)Cl(H_2O)Zn]$ .

Benzene-1,2-bis(aminoglyoxime) ( $BH_4$ ) is synthesized by the reaction of o-phenylenediamine with anti-monochloroglyoxime at low temperature (-5 °C) by addition of sodium hydroxide solution.

$BH_4$  is identified by elemental analysis, i.r. and  $^1H$ -n.m.r. spectra. In the  $^1H$ -n.m.r. spectrum, the chemical shifts for

aromatic protons, C-H protons of the aldoxime groups and NH protons are observed at 7.0-6.6, 7.5, and 8.2 ppm respectively. For OH protons of the oximes, the chemical shifts appear as two broad singlet because of different environment; among these, the singlet in the lower field (11.4 ppm) is due to the OH protons of amidoxime group and the other (10.8 ppm) is due to the OH protons of aldoxime group as reported for various asymmetrically substituted vic-dioximes. The chemical shifts of NH and OH protons are disappeared by  $D_2O$  exchange. In the i.r. spectrum of  $BH_4$ , NH and OH stretching vibrations are observed at 3320 and 3200  $\text{cm}^{-1}$  respectively. Bands due to NH deformation, C=N and N-O stretches are at 1595, 1645, and 975  $\text{cm}^{-1}$ . These values are in agreement with the previously reported vic-dioximes.

$Ni(II)$ ,  $Cu(II)$ ,  $Co(II)$ ,  $Cd(II)$ ,  $Zn(II)$ , and  $UO_2(VI)$  complexes of  $BH_4$  have been isolated and their structures have been investigated.

The conformations of the  $N=C-C=N$  moiety of the dioxime groups permit NN-chelation with  $Ni(II)$  and  $Cu(II)$ . Two vic-dioxime groups of the same ligand coordinate with two metal ions and through H-bridges a polymeric complex forms. The i.r. absorptions ascribed to the intramolecular H-bridged OH bending vibrations (around 1740  $\text{cm}^{-1}$ ) are broad and weak. (C=N) stretching vibrations (1610  $\text{cm}^{-1}$  for  $Ni(II)$  and 1630  $\text{cm}^{-1}$  for  $Cu(II)$  complex) are slightly lowered compared to that of free  $BH_4$  (1645  $\text{cm}^{-1}$ ). The  $Ni(II)$  complex is diamagnetic as expected for the square-planar  $N,N$ -chelated vic-dioximes. The magnetic moment of  $Cu(II)$  complex is 0.99 B.M. which is lower than the value expected for one unpaired electron; consequently, an intermolecular interaction should be present in the molecule such as anti-ferromagnetism. These data enable us to propose a polymeric structure similar to those for the  $Ni(II)$  complexes of 4,4-bis[1,2-dihydroxyimino-propyl]biphenyl.

The Co(II) complex of  $\text{BH}_4$  has a metal/ligand ratio of 2:1. The presence of coordinated  $\text{H}_2\text{O}$  molecules can be expected since in the i.r. spectrum there is a broad absorption around  $3500 \text{ cm}^{-1}$ . ( $\text{C}=\text{N}$ ) stretching vibration ( $1610 \text{ cm}^{-1}$ ) has been slightly lowered. The magnetic moment is 3.2 B.M. suggesting two unpaired electrons for each molecule. Hence, a binuclec complex with planar  $\text{NO}_-$  chelates can be proposed.

The Cd(II) and Zn(II) complexes of  $\text{BH}_4$  have a metal-ligand ratio of 1:1 and they give almost identical i.r. spectra. In these molecules, two vic-dioxime groups of the ligand coordinate with a metal ion. A broad band at  $3230 \text{ cm}^{-1}$  can be assigned to OH stretching vibrations of the oximes. NH deformation bands are lowered to  $1570 \text{ cm}^{-1}$  suggesting Me-NH coordination.  $\text{C}=\text{N}$  stretching vibrations remain almost unchanged. According to elemental analysis and i.r. spectra, a possible structure is proposed for these complexes.

The diamagnetic uranyl complex of  $\text{BH}_4$  has a metal-ligand ratio of 2:1. In a recent paper, a hydroxo-bridged structure for the uranyl complex of  $\text{N},\text{N}'\text{-bis}(4'\text{-benzo[15-crown-5]})$  diaminoglyoxime according to its i.r. and  $^1\text{H-n.m.r.}$  data have been proposed. Such dimeric structure was also proposed for  $[(\text{NO}_3)_2\text{UO}_2(\text{OH})_2\text{UO}_2(\text{H}_2\text{O})_3]3\text{H}_2\text{O}$ . In the i.r. spectrum of the  $\text{UO}_2$ (VI) complex, a strong band at  $900 \text{ cm}^{-1}$  is the characteristic frequency for  $\nu(\text{O}=\text{U}=0)$ . The hydroxo-bridged polymer structure for the uranyl complex is postulated according to elemental analysis and i.r. spectrum.

The low solubility of the complexes in suitable solvents hindered molecular weight determinations which will be especially useful in order to determine  $n$  values for the polymeric complexes.

As a result of this work, it is found that two neighbouring vic-dioximes act as two isolated vic-dioximes in Cu(II), Ni(II) Co(II) and  $\text{UO}_2$ (VI) complexes by forming bi or poly-nuclear complexes, but they coordinate with Cd(II) and Zn(II) together and form mononuclear complexes.

## 1. GİRİŞ

Bir metal iyonu ile bir elektron verici gurup arasındaki bağ oluşumuyla ortaya çıkan koordinasyon bileşikleri, üzerinde en çok araştırma yapılan konulardan biridir. Zira bir yandan bakır-fatalosyanın bileşikleri gibi, pigment olarak endüstriyel çapta üretimleri gerçekleştiriliyorken, öte taraftan da biyolojik sistemlerde taşıdıkları önemli görevler açıklanmaya çalışılmaktadır. Tabiatın mükemmel laboratuvarında sentezi yapılan ve henüz mekanizmları dahi tam olarak aydınlatılamamış bulunan biyolojik bakımından büyük öneme sahip pek çok koordinasyon bileşikleri mevcuttur (1). Biyolojik mekanizmalarda önemli rol oynayan  $B_{12}$  vitamini ve  $B_{12}$  koenzimlerinin yapısını açıklamak için kullanılan model bileşiklerde kobalt atomu ile kompleks yapıcı bileşik olarak dimetilglikoçsim kullanılmış ve bu çalışma vic-dioksim bileşikleri üzerindeki çalışmaların yoğunlaşmasına sebep olmuştur (2-4). Metal iyonlarının pek çok organik reaksiyondaki yönlendirme (template) etkisi, başka şekilde elde edilmesi mümkün olmayan veya çok düşük verimle elde edilebilen birçok heterosiklik bileşiğin elde edilmesini mümkün kılmıştır (5-8). Bu reaksiyonlarda metal iyonu, reaksiyona girecek maddeleri koordinasyon yoluyla bir araya getirir ve kompleks oluşumu sonunda istenilen kondenzasyon reaksiyonu bir seri stereokimyasal açıdan kontrol edilmiş adımlarla gerçekleşir.

### 1.1. Oksimler ve Reaksiyonları



azometin ( $C=N$ ) gurubu nedeniyle zayıf bazik, hidroksil ( $O-H$ ) grubundan dolayı da zayıf asidik özellik taşıyan amfoter maddelerdir. Amidoksimlerde R- gruplarından birinin yerini NH allığında molekülün bazikliği hafifce artmasına rağmen, bu oksimler de amfoterdir (9,10).

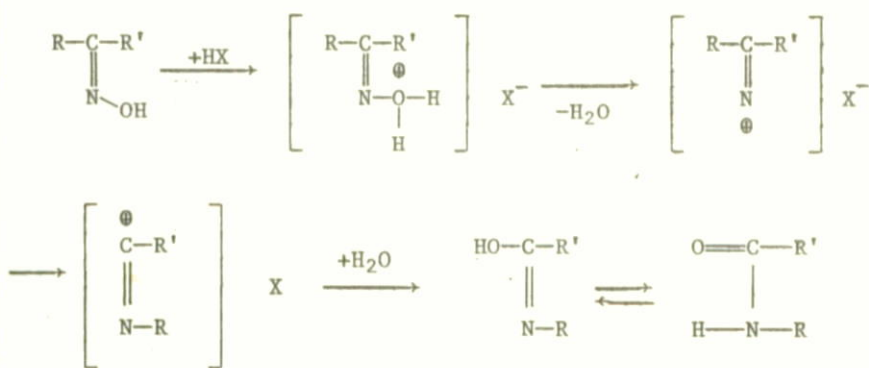
Keton ve aldehitlerin oksim türevlerine dönüştürülmesi genellikle bir baz yanında bunların hidroksilamin tuzları ile reaksiyona sokulması suretiyle gerçekleştirilir. Aldehitler ve asimetrik ketonlar bu şartlar altında iki farklı izomer (*syn* ve *anti*) yapıda ürün verirler. Bu izomerler fraksiyonlu kristalizasyon yoluyla birbirinden ayrılabilir ve çoğu zaman birbirine dönüştürülebilir (11). Oksim oluşumu sırasında reaksiyon ortamının bazlığı büyük önem taşır. Reaksiyon hızının çözelti pH sına bağlı olarak değişimi incelendiğinde, nötral noktaya yakın bir yerde hızın maksimum olduğu gözlenir (11). Hidroksilamin hidroklorüre veya sülftata uygun bir bazın ilâvesi bir tampon etkisi yaratır. Güç çözünen ketonların veya steroidal ketonların oksimlenmesinde hem çözücü, hem de baz görevini piridin yapar (12,13). Hidroksilaminin nitrillere ve hidroksamik asit klorürlerinin (kloroksimler) amonyak ve çeşitli amin türevlerine katılması amidoksimlerin elde edilmesinde en önemli yöntemlerdir. Örneğin; Diaminoglioksim dinitril  $[(CN)_2]$  ve hidroksilaminden kolayca elde edilebilir (14). Anti-Dikloroglioksim ve anti-kloroglioksimin çeşitli aromatik aminlere katılması yoluyla elde edilen bazı makrosiklik ve asiklik mono ve diaminoglioksimler şunlardır:  $N,N'$ -bis(4'-benzo[15-crown-5]) diaminoglioksim (15), dibenzo[e,k]-2,3-bis(hidroksi-imino)-1,4-diaza-7,10-dioksa-2,3,8,9-tetra hidrosiklododesin ve bunun 3,4,5 oksa gurubu ihtiva eden 15,18 ve 21 üyeli makrosiklik analogları (16), dibenzo [e,k]-2,3-bis(hidroksiimino)-1,4,7,10-tetraaza-2,3,8,9-tetrahidrosiklododesin (17); N-sübstitüle amino-glioksimler ( $R=Fenil$ , 1-naftil, 2-naftil, veya 4,4'-bifenil),

N,N'-disübstitüe diaminoglioksimler ( $R=1\text{-naftil veya } 2\text{-naftil}$ )

(18).

*anti*-Dikloroglioksim apolar bir çözücü (diklormetan, kloroform, benzen, eter gibi) içinde süspansiyon haline getirilip  $-10^{\circ}\text{C}$  civarında sulu bir alkali çözeltisi ile muamele edilirse oluşan siyanojen-di-N-oksit ( $\text{O}=\overset{\oplus}{\text{N}}=\text{C}-\text{C}=\overset{\oplus}{\text{N}}=\text{O}$ ) organik faza geçer; bu reaktifin özellikle amin ve 1,2-diaminlerle kolayca sübstitüe amidoksimler verdiği ilk defa Grundman ve çalışma arkadaşları (19) tarafından incelenmiş ve birçok vic-dioksimin sentezi gerçekleştirılmıştır(20). N,N'-Difenil-etilendiamin ve N,N'-difeniltioüre'ye siyanojen-di-N-oksit katılması sonucunda 2,3-bis(hidroksiimino)-1,4-difenilpiperazin (21) ve 4,5-bis(hidroksiimino)-1,3-difenil-2-tioksoimidazolin elde edilmiştir (22).

Oksimlerin en çok bilinen reaksiyonlarından biri, Beckman dönüşümüdür. Burada ketoksimler asidler ile muamele edildiğinde tekabül eden amid veya anilid'e dönüşür (11):

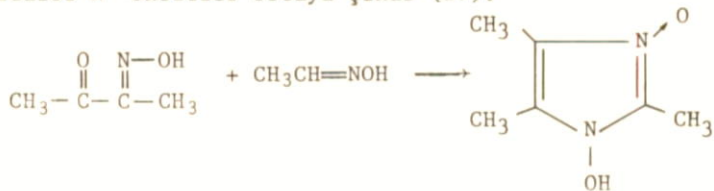


Oksimlerin diğer önemli reaksiyonları ketonlara hidroliz, amin ve hidrosilamin türevlerine indirgenme ve nitro bileşiklerine yükseltgenmedir.

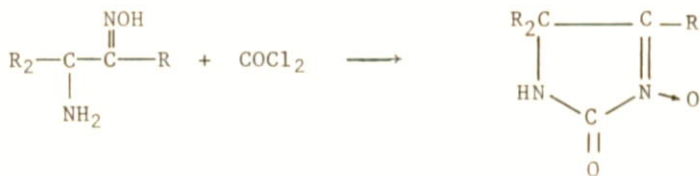
Oksimler ayrıca nitrozolama vasıtaları ile reaksiyona girerek oksimin yapısı, nitrozolama vasıtاسının niteliği ve reaksiyon şartlarına bağlı olarak farklı ürünler verirler (23).  $\alpha$ -Oksimino ketonların nitrit asidi ( $HNO_2$ ) vasıtasıyla  $\alpha$ -diketonlara dönüştürüldüğü 1889 yılından beri bilinmektedir (24). Terpen serisinden bazı bileşiklerin oksimleri nitrozolama vasıtaları ile nitriminler ( $N$ -nitroiminler) verirler (25).  $\alpha, \beta$ -Doymamış oksimler ise, nitrozolama vasıtaları ile muamele edildiğinde heterosiklik bileşiklere dönüşürler (23). Alifatik ketoksimlerin çoğu diazottetroksit ( $N_2O_4$ ) ile pseudonitrol adı verilen ( $R_2C\begin{matrix} N=O \\ NO_2 \end{matrix}$ ) yapısında bileşikler oluştururlar (23). Oksimlerin kloramin veya hidroksilamin- $O$ -sulfonik asit tarafından kalevi ortamda diazoalkanlara dönüşümü Forster reaksiyonu olarak bilinir (26). Ketoksimler Grignard reaktifleri ile azırıldır verirler.

Oksimler çoğu kez heterosiklik bileşiklerin sentezi için başlangıç maddesi olarak kullanılırlar ve burada oluşan reaksiyonlar doğrudan doğruya çift bağa katılma reaksiyonlarıdır.

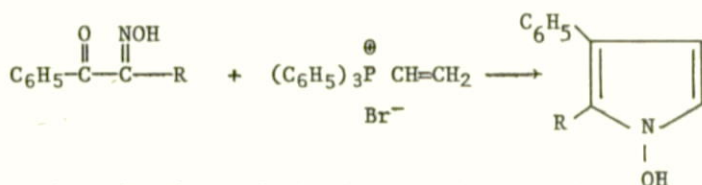
$\alpha$ -ketoksimlerin aldoksimlerle kondensasyonu sonucunda  $N$ -hidroimidazol- $N'$ -oksitler ortaya çıkar (27).



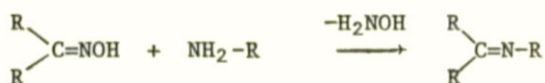
$\alpha$ -Amino ketoksimlerin fosgen etkisiyle 2-okso- $\Delta^3$ -imidazolin-3-oksidlere dönüştüğü rapor edilmiştir (23):



Viniltrifenilfosfonyum bromürünün,  $\alpha$ -ketoksimler ile kondensasyonundan N-hidroksipirol türevleri elde edilmiştir (28):



Oksimlerin diğer bir ilginç reaksiyonu aminlerle kondensasyona girerek hidrosilamin eliminasyonu ile bir Schiff bazı oluşturmasıdır. Bu reaksiyon özellikle aynı molekül üzerinde bulunan bir oksim ve bir amine arasında meydana geldiğinde yeni halka yapıları ortaya çıkmaktadır (29).



## 1.2. Oksimlerin Kompleksleri

Birçok vic-dioksım metal kompleksinin yapısı tek kristal X-ışını yöntemi ile kesin olarak belirlenmiştir. Bunların pek çokunda, iki dioksım molekülündeki 4 N atomu ile koordinasyon yapan metal iyonu aynı düzlemededir ve oluşan iki tane hidrojen köprüsü kompleksin yapısını daha kararlı kılar. Bu yapının ideal olarak  $D_{2h}$  simetrisinde olması gereklir de gerçek moleküldede hafif distorsyonlar mevcuttur. Bu yapılarda  $\text{C}=\text{N}$  ve  $\text{N}-\text{O}$  mesafeleri  $1.30 \text{ \AA}$  ve  $1.34 \text{ \AA}$  civarında sabit olarak bulunur. Bu değerler, serbest oksimler için ölçülenlerle karşılaştırılsa iki nokta dikkati çeker: Birincisi,  $\text{N}-\text{O}$  mesafesi kompleks oluşumu sonunda oldukça kısalmıştır; ikincisi,  $\text{C}=\text{N}$  uzunluğu fazla değişmemiştir. Bu veriler kompleks oluşumu sonunda  $\text{N}-\text{O}$  gurubuna ait stretching frekansının önemli ölçüde değişmesini,  $\text{C}=\text{N}$

gurubuna ait frekansın da büyük ölçüde etkilenmemesini gerektirir.

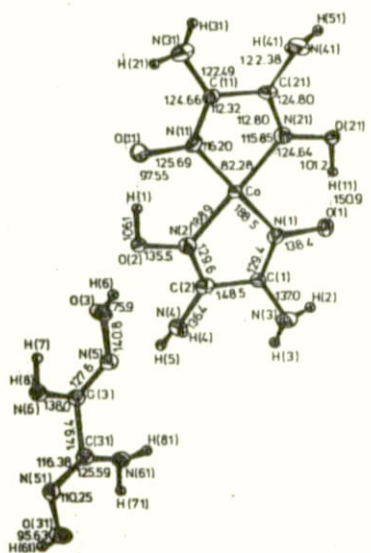
Kare düzlemsel vic-dioksim komplekslerinde molekül içi H-köprüsü ile birbirine bağlanan O...O arasındaki uzaklık  $2.4 \text{ \AA}^{\circ}$  veya fazladır. Daha kısa olması oksijen-oksijen itmesi sebebiyle mümkün olamamaktadır. O...O uzaklıği  $2.5 \text{ \AA}^{\circ}$  den küçük olduğunda H atomu simetrik olarak iki oksijenin tam ortasındadır. Mesafe daha uzun olduğunda H atomu oksijenlerden birine daha yakın bir yerde bulunur. Kompleksi oluşturan metal iyonunun çapına bağlı olarak O...O uzaklı  $\text{Ni} < \text{Pd} < \text{Pt}$  sırasına göre artar. Bis(dimetilglioksimato)nikel (II) kompleksinin yapısal bir özelliği, katı halde düzlemsel molekülerin üst üste sıralanarak eksenin nikel atomlarından geçen bir zincir oluşturmasıdır. Diğer pek çok vic-dioksim ile de benzer bir yanının ortaya çıktığını gösteren en önemli kanıt, bu komplekslerin çözünürlüklerinin kloroform gibi çözücülerde çok az olmasıdır (30).

Sentezi ilk defa 1889 yılında Fischer (14) tarafından gerçekleştirilen diaminoglioksimin kompleksleri Tschugaeff ve Surenjanz (31) tarafından 1907 yılında elde edilmiştir. Bu ligand ile son yıllarda yapılan çalışmalarda ilging komplexler elde edilmiştir. Az atmosferi altında hazırlanan Co(II) kompleksi tek kristal X-ışını yöntemiyle incelenmiş ve kompleksin yapısı ortaya çıkarılmıştır (32).

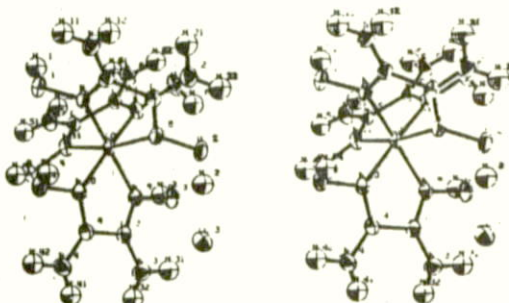
Bu pseudooktaedral komplekste metal iyonu iki ligand moleküllerindeki 4 N atomu ile aynı düzlemede koordinatif bağ oluşturmuşken birinci ve altıncı koordinasyonlarını komşu moleküllerin amino grupları ile tamamlamaktadır. Co(II) kompleksinde N-Co-N açısı  $82.3^{\circ}$  N-Co uzaklı ise  $1.88 \text{ \AA}$  dur. Aynı açı ve uzunluklar bis(dimetilglioksimato)nikel kompleksinde biraz daha fazladır (30).

Tris(oksamidoksim)kobalt (III) triklorür  $[\text{Co}(\text{C}_2\text{H}_6\text{N}_4\text{O}_2)_3\text{Cl}_3]$  kompleksinde iki dişli (bidentat) ligand, metal iyonu ile oktaedral olarak koordinasyona girer (33). Oluşan üç tane beşli halka düzeltildir ve bu halkalara bağlı amino grupları da aynı düzlemden ç

az bir sapma gösterirler.



Bis(diaminoglioksimo) kobalt (II) diaminoglioxim



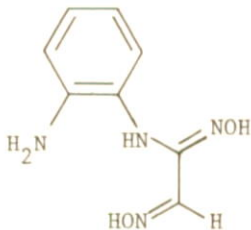
Tris(oksamidoksim) kobalt (III) triklorür

Kobalt (II) diaminoglioksim kompleksi NO ve SO<sub>2</sub> atmosferlerinde sentez edildiğinde oluşan oktaedral komplekslerde eksenel doğrultuda bir H<sub>2</sub>O molekülü ile NO veya SO<sub>2</sub> yer almaktadır. Bu yapılar termogravimetri, diferansiyel termal analiz ve diferansiyel termogravimetri yöntemleri ile doğrulanmıştır (3).

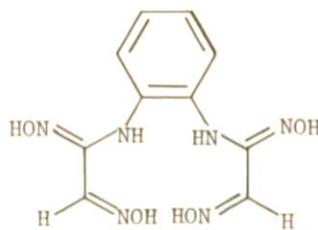
Son yıllarda yayınlanan düz ve halka yapısındaki *vic*-dioksimerin Ni(II), Cu(II), Co(II), Co(III), Pt(II), Pd(II), Cd(II), Zn(II) ve UO<sub>2</sub>(VI) gibi metal iyonları ile oluşturdukları kompleksleri izole edilmiş, yapıları çeşitli spektroskopik yöntemlerle açıklanmaya çalışılmıştır (4,13,15-18,21,22).

### 1.3. Çalışmanın Amacı ve Kapsamı

Geçiş metalleri ile verdikleri komplekslerin ilginç yapıları yanı sıra, anti-tümör ve diğer etkileri de incelenmekte olan *vic*-dioksimer ile ilgili çalışmaların bir devamı olarak o-fenilendiamin'e bir ve iki anti-kloroglioksim katılması sonucunda oluşacak di- ve tetra-oksimlerin sentezi gerçekleştirilmek istenmiştir.

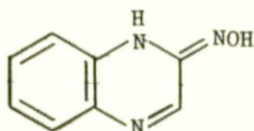


*Benzen-1-amino-2-aminoglioksim*



*Benzen-1,2-bis(amino-glioksim) (BH<sub>4</sub>)*

Ancak o-fenilendiamine oda sıcaklığında bir anti-kloroglioksim katılmasında yukarıda formülü verilen dioksım oluşmamış, bir halka kapanmasıyla 2(1H)-kinoksalinon oksım (QH) meydana gelmiştir. Literatürde çok kademeli reaksiyonlar sonunda elde edildiği belirtilen QH, bu yöntemle tek bir reaksiyonla oluşmaktadır.



Benzen-1,2-bis(aminoglioxim) ( $BH_4$ ) sentezi ise  $-5^{\circ}C$  de gerçekleştirilmiştir.

2(1H)-kinoksalinon oksim (QH) kobalt iyonunun yönlendirme etkisiyle yeni bir heterosiklik halka sistemi olan s-tetrazino[1,6-a:4,3-a']dikinoksalin'e (TAD) dönüştürülmüştür. Ni(II) iyonları ise, QH ile TAD yanında kapalı formülü  $C_{32}H_{20}N_{12}Ni$  olan siyah bir kompleks oluşturmuştur. QH'in Cu(II), Cd(II) ve Zn(II) ile verdiği kompleksler izole edilmiştir.

Benzen-1,2-bis(aminoglioxim) ( $BH_4$ ), Ni(II) ve Cu(II) ile polimerik yapıda, Co(II) ile ise, binükleer kompleksler vermiştir. Zn(II) ve Cd(II) kompleksleri izole edilmiş, uranil (VI) iyonu ile hidrokso-köprülü metal-ligand oranı 2:1 olan polimer kompleksler verdiği tesbit edilmiştir. Elde edilen organik maddelerin ve koordinasyon bileşiklerinin yapıları elementel analiz, infrared, ultraviolet-görünür bölge, nükleer magnetik rezonans, kütle spektroskopisi ve magnetik moment ölçümleri gibi çeşitli yöntemlerle aydınlatılmaya çalışılmıştır.

## 2. KULLANILAN MADDE VE ALETLER

*o*-fenilendiamin Merck firmasına ait olup, monoklor-anti-glioksim literatürde (35) verilen yöntemle hazırlanmıştır. Diğer reaktifler ve solventler Merck, Fluka ve yerli firmalardan sağlanmıştır.

### Aletler

- İnfra kırmızı Spektrofotometresi  
Perkin-Elmer 598 model
- U.V.- visible spektrofotometresi  
Varian Techtron 635
- $^1\text{H-n.m.r.}$  Spektrofotometresi  
Varian-EM-360 60 MHz, Varian T 60-A.
- Kütle spektrometresi  
Varian Mat 711
- Atomik absorbsiyon spektrofotometresi-Hilger-Watts A.H.H.1550
- Elementel Analizleri  
Basel Üniversitesi (İsviçre)
- Magnetik moment  
Magnet Power Supply Type D-104
- pH metre  
Orion Research Model 601 A Digital Ionanalyzer

### 3. DENEL BÖLÜM

Bu çalışmada sentezi yapılan ligand ve komplekslerinin magnetik momentleri ve elementel analiz sonuçları Ek-I Tablo I de, Infrared spektrumlarından çıkarılan karakteristik bandlar Ek-I Tablo II ve III de,  $^1\text{H-n.m.r.}$  spektrumları alınabilen ligand ve komplekslere ait kimyasal kaymalar Ek-I Tablo IV ve V de verilmiştir.

#### 3.1. 2(1H) KİNOKSALİNON OKSIM (QH)

2.45 g ( $2.10^{-2}$  mol) monoklor-anti-glioksim, 40 ml mutlak etanolde oda sıcaklığında ( $25^\circ\text{C}$ ) çözülür ve karıştırılarak 3.24 g ( $3.10^{-2}$  mol) o-fenilendiamin'in 80 ml mutlak etanoldeki çözeltisi ilâve edilir. Beş dakika sonra sarı çökelti ayrılmaya başlar, 3 saat karıştırırmaya devam edilerek reaksiyon tamamlanır. Sızılıp sıçak su, soğuk etanol ve eterle yıkılır. Vakumda kurutulur. Oksim amorf ve sarı renklidir. Verim: 2.57g (% 79.90); e.n.  $186-188^\circ\text{C}$  (bozunma).

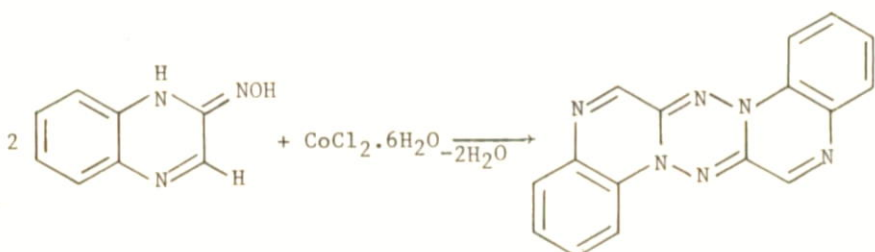
Su banyosunda etonalden kristallerildiğinde sarı parlak kristaller elde edilir. Vakumda kurutulur. Verim: 2.39 g (% 74.1); e.n.  $190^\circ\text{C}$  (bozunma).

u.v.-vis(etanol): 243 nm ( $\epsilon=1780$ ), 264 nm ( $\epsilon=1780$ ), 372 nm ( $\epsilon=946$ ).

Bu oksim DMSO, DMF, piridin ve asetonda çözünür. Etanol, dioksan ve etil asetatta sıcakta çözünür. Su, eter, benzen, toluen, kloroform, karbon sülfür ve karbon tetraklorürde çözünmez.

3.2. 2(1H)-KİNOKSALİNON OKSİM (QH) İN GEÇİŞMETALLERİ İLE REAKSİYONLARI

3.2.1. QH İN Co(II) İLE REAKSİYONU



2(1H)-Kinoksalinon  
oksim (QH)

*s*-tetrazino[1,6-a:4,3-a']  
dikinoksalin (TAD)

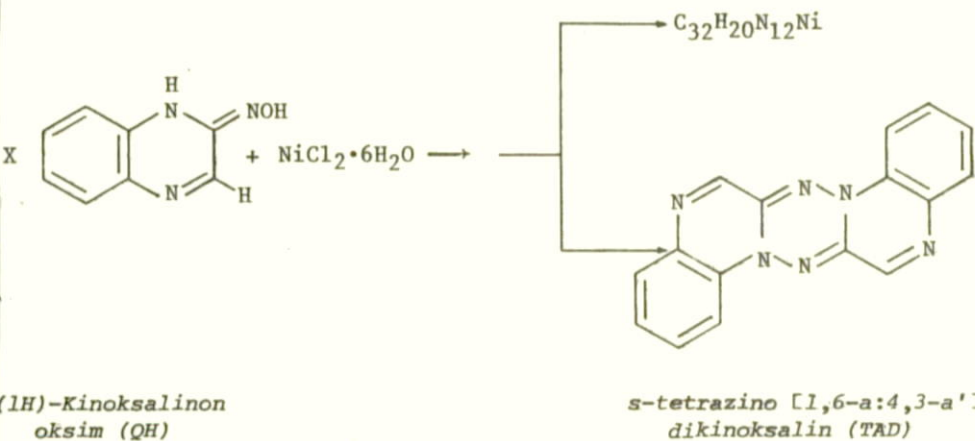
0,322 g ( $2.10^{-3}$  mol) QH, 50 ml etanolde 60-70 °C da su banyosunda çözülmür (pH=6.70) ve 0.238 g ( $10^{-3}$  mol)  $\text{CoCl}_2 \cdot 6\text{H}_2\text{O}$  un 20 ml etanoldeki sıcak çözeltisi karıştırılarak ilâve edilir. Renk yeşil üzerinden koyu bordo olur. Çözeltinin pH sı 4 civarındadır.

Su banyosunda 2 saat bekletildiğinde parlak bordo kristaller oluşur. Süzülen kristaller su, etanol ve eterle yıkanır, vakumda kurutulur. Verim : 0.258g (% 90.21); e.n. 250 °C (bozunma).

Yukarıdaki deneme  $\text{N}_2$  atmosferinde de yapıldığında hiç bir değişiklik gözlenmemiştir, aynı madde elde edilmiştir. Bu reaksiyonda oluşan maddenin kristal büyüklüğü ve reaksiyon süresi  $\text{CoCl}_2 \cdot 6\text{H}_2\text{O}$  un miktarı ile ters orantılıdır. u.v.-vis( $\text{CHCl}_3$ ): 270 nm ( $\epsilon=20920$ ), 360 nm ( $\epsilon=31320$ ), 460 nm ( $\epsilon=420$ ).

Bu madde  $\text{CHCl}_3$ , DMF ve trifluor asetik asitte çözünür. Etanol, aseton, pridin, karbonsülfür ve DMSO da sıcakta az çözünür. Su, eter, benzen ve toluende çözünmez.

### 3.2.2. QH IN Ni(II) İLE REAKSİYONU



(1H)-Kinoksalinon  
oksim (QH)

0.805 g ( $5.10^{-3}$  mol) QH, 250 ml etanolde 60-70 °C da su banyosu üzerinde karıştırılarak çözülüp (pH=6,70), üzerine 0.745 g (2,5.  $10^{-3}$  mol)  $\text{NiCl}_2 \cdot 6\text{H}_2\text{O}$  un 100 ml sıcak etanoldeki çözeltisi ilâve edilir (pH=4,60). Beş dakikada çözeltinin rengi, sarıdır, koyusarı açık kahverengi ve koyu bordo-siyaha dönüşür (pH=3). 1/2 saat sonunda parlak bordo-siyah ince kristaller ayrılır. Kompleks süzülür, alkol ve eterle yıkılır. Verim: 0.352 g (% 44.5); e.n. 317 °C (bozunma).

Kompleks trifluorasetik asitte çözünür, etanol, piridin, DMSO ve DMF de az çözünür.

u.v.-vis(DMF): 630 nm ( $\epsilon=740$ ), 446 nm ( $\epsilon= 2020$ ), 278 nm ( $\epsilon= 1980$ ), 270 nm ( $\epsilon= 20440$ ).

Süzüntü tekrar sıcak su banyosu üzerine konulur. 2,5 saat sonunda parlak bordo kristaller ayrılır. Madde süzülür, alkol ve eterle yıkanır. Vakumda kurutulur. Verim: 0,250 g (% 35); e.n. 250 °C (bozunma).

Bu maddenin özelliklerinden 3.2.1. de elde edilen madde'nin aynısı olduğu anlaşılmıştır.

### 3.2.3. $[(QH)_2CuCl_2]_2$

0.322 g ( $2 \cdot 10^{-3}$  mol) QH, 50 ml etanolde 60-70 °C da su banyosunda çözülür (pH=6,70). Bu çözeltiye karıştırılarak, 0.170 g ( $10^{-3}$  mol)  $CuCl_2 \cdot 2H_2O$  un 20 ml etanoldeki sıcak çözeltisi ilâve edilir. Hemen kahverengi çökelti oluşur. 10 dakika sonra kompleks süzülür. Su, etanol ve eter ile yıkanır. Vakumda kurutulur. Verim: 0.307 g (% 67.3); e.n. 320 °C (bozunma).

u.v.-vis(etanol): 447 nm ( $\epsilon=800$ ), 420 nm ( $\epsilon=1100$ ), 260 nm ( $\epsilon=6700$ ), 445 nm ( $\epsilon=800$ ), 420 nm ( $\epsilon= 1050$ ), 376 nm ( $\epsilon= 2610$ ), 362 nm ( $\epsilon=2500$ ).

Bu kompleks DMF ve trifluor asetik asitte çözünür. Su ve etanolde sıcakta çözünür. Eter, aseton, benzen, toluen, kloroform ve karbon sülfürde çözünmez.

### 3.2.4. $(QH)_2CdCl_2$

0.322 g ( $2 \cdot 10^{-3}$  mol) QH, 50 ml etanolde 60-70 °C da su banyosunda çözülür (pH=6.7) ve karıştırılarak 0.2014 g( $10^{-3}$  mol)  $CdCl_2 \cdot H_2O$  nun 40 ml etanoldeki sıcak çözeltisi ilâve edilir. 1-2 dakika sonra

sarı çökelti oluşur ( $\text{pH}=5,5$ ). Süzülen çökelti etanol ve eterle yikanır. Vakumda kurutulur. Verim: 0,336 g (% 66,48); e.n. 260–262 °C (bozunma). u.v.-vis(DMF): 400 nm ( $\epsilon=3080$ ), 390 nm ( $\epsilon=3960$ ), 352 nm ( $\epsilon=2900$ ), 298 nm ( $\epsilon=1900$ ), 268 nm ( $\epsilon=10450$ ).

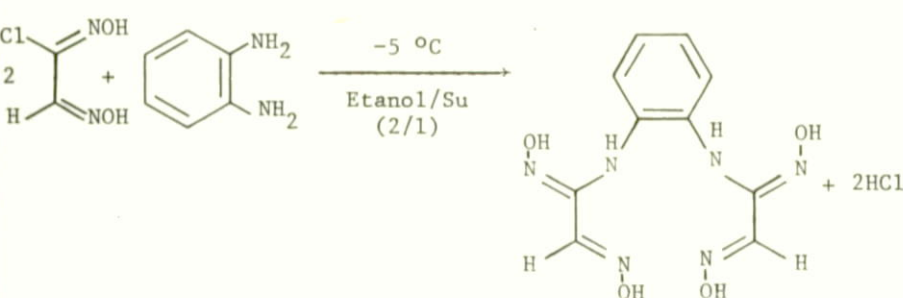
Bu kompleks DMF, DMSO, piridin, sıcak etanol ve sıcaksuda çözünür. Aseton, benzen, kloroform, karbon tetraklorür, karbon sülfür, benzen, toluen ve etil asetattı çözünmez.

### 3.2.5. $[\text{QCl}(\text{H}_2\text{O})\text{Zn}]$

0,322 g ( $2 \cdot 10^{-3}$  mol) QH, 50 ml etanolde 60–70 °C de su banyosunda çözülür ( $\text{pH}=6,7$ ). Karıştırılan bu çözeltiliye, 0,272 g ( $2 \cdot 10^{-3}$  mol)  $\text{ZnCl}_2$  ün 40 ml etanoldeki sıcak çözeltisi ilâve edilir ( $\text{pH}=5,40$ ). Sıcak su banyosunda 15 dakika bekletilen çözeltili rengi sarıdan kırmızıya dönüşür. 1 saat sonunda kahve-kırmızı kompleks oluşur ve pH değişikliği olmaz. Kompleks süzülür, su, etanol ve eterle yikanır. Vakumda kurutulur. Verim: 0,414 g (% 74,32); e.n. 271 °C (bozunma). u.v.-vis(DMF): 565 nm ( $\epsilon=938$ ), 528 nm ( $\epsilon=1530$ ), 490 nm ( $\epsilon=1370$ ), 345 nm ( $\epsilon=2810$ ), 320 nm ( $\epsilon=3420$ ), 310 nm ( $\epsilon=3200$ ), 278 nm ( $\epsilon=3420$ ), 270 nm ( $\epsilon=3320$ ).

Bu kompleks piridin, DMSO, DMF de çözünür. Etanol ve suda sıcakta az çözünür.

### 3.3. BENZEN-1,2-BİS(AMİNOGLİOKSIM) SENTEZİ ( $\text{BH}_4$ )



2,45 g ( $2 \cdot 10^{-2}$  mol) monoklor-anti-glioksim 40 ml etanolde çözüldükten sonra -5 °C ye kadar soğutulup, üzerine 1,08 g ( $10^{-2}$  mol) o-fenilendiamin'in 40 ml etanoldeki çözeltisi sıcaklık -5 °C yi geçmeyecek şekilde karıştırılarak ilâve edilir. Reaksiyon ortamına 40 ml su ve 0,8 g ( $2 \cdot 10^{-2}$  mol) NaOH in 1 ml sudaki soğutulmuş çözeltisi damla damla ilâve edilir, -5 °C da tutulan çözeltinin rengi önce koyulaşıp kahverengiye döner. Daha sonra çökme başlayınca çözeltinin rengi açılır. 3. saat sonunda krem renginde çökelti oluşumu tamamlanır.

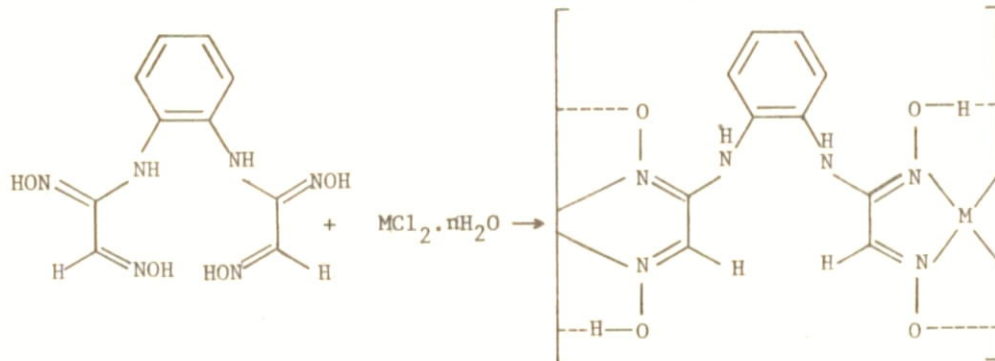
Madde süzülür, su, etanol ve eterle yıkandır. Vakumda kurutulur. Verim: 1,90 g (% 68); e.n. 144 °C (bozunma).

u.v.-vis(etanol): 380 nm ( $\epsilon=3840$ ), 255 nm ( $\epsilon=28600$ ), 245 nm ( $\epsilon=26600$ ).

Ligand etanol, aseton, piridin, dioksan, DMSO ve DMF de çözünür. Su ve etil asetatta az çözünür.

### 3.4. BENZEN-1,2-BİS(AMİNOGLIOKSİM) ( $BH_4$ )'ÜN GEÇİŞ METALLERİ İLE KOMPLEKSLERİ

#### 3.4.1. $(BH_2Ni)_n$



$M=Ni(II)$ ,  $Cu(II)$

0.280 g ( $10^{-3}$  mol)  $\text{BH}_4$ , 50 ml etanolde 60-70 °C da çözülür. (pH=6) ve sıcak su banyosu üzerinde karıştırılarak, 0.238 g ( $10^{-3}$  mol)  $\text{NiCl}_2 \cdot 6\text{H}_2\text{O}$  nun 20 ml etanoldeki sıcak çözeltisi ilave edildiğinde hemen kırmızı çökelti oluşur (pH=1.95); %1NaOH (etanolü) çözeltisi ile pH=4 yapılarak kompleks'in tamamen çökmesi sağlanır. Sızılır, su, etanol ve eterle yıkandır. Vakumda kurutulur. Verim: 0.196 g (% 58); e.n. 210 °C (bozunma).

u.v.-vis(DMF): 448 nm ( $\epsilon = 460$ ), 343 nm ( $\epsilon = 1700$ ), 280 nm ( $\epsilon = 2260$ ), 268 nm ( $\epsilon = 2650$ ).

Kompleks DMF ve trifluor asetik asitte çözünür. DMSO ve piridinde sıcakta az çözünür. Benzen, toluen, kloroform, karbonsülfür ve etil asetatta çözünmez.

#### 3.4.2. $(\text{BH}_2\text{Cu})_n$

0.280 g ( $10^{-3}$  mol)  $\text{BH}_4$ , 50 ml etanolde 60-70 °C da çözülür (pH= 6) ve karıştırılarak 0.170 g ( $10^{-3}$  mol)  $\text{CuCl}_2 \cdot 2\text{H}_2\text{O}$  nun 20 ml etanoldeki sıcak çözeltisi ilave edildiğinde kahverengi çökelti oluşmaya başlar (pH=4). Sıcak su banyosu üzerinde 5 dakika karıştırıldığında pH=1.35 olur.

% 1NaOH (etanolü) çözeltisiyle pH=3.5 yapılarak kompleksin tamamen ayrılması sağlanır. Sızılıp, su, etanol ve eterle yıkandır. Vakumda kurutulur. Verim : 0.236 g (% 69); e.n. 190 °C (bozunma). u.v.-vis(DMF) : 360 nm ( $\epsilon = 3010$ ), 288 nm ( $\epsilon = 2880$ ), 269 nm ( $\epsilon = 3340$ ).

Koyu kahverengi-siyah renkte olan kompleks trifluor asetik asitte çözünür. Piridin ve DMF de sıcakta çözünür. Su, etanol, eter, aseton, benzen, toluen, kloroform, karbon sülfür ve etil asetatta çözünmez.

#### 3.4.3. $(\text{BH}_2)_2\text{Co}_2\text{Cl}_2(\text{OH}_2)_2$

0.280 g ( $10^{-3}$  mol)  $\text{BH}_4$ , 50 ml etanolde 60-70 °C da subanyosu

üzerinde çözülür ( $\text{pH}=6$ ) ve karıştırılarak  $0.476 \text{ g}$  ( $2.10^{-3} \text{ mol}$ )  $\text{CoCl}_2 \cdot 6\text{H}_2\text{O}$  nun 20 ml etanoldeki sıcak çözeltisi ilave edildiğinde yeşil üzerinden kahverengi renk'e dönüşür ( $\text{pH}=3.15$ ). 2-3 dakika karıştırıldığında  $\text{pH}=2$  ye düşer ve kahverengi çökelti oluşmaya başlar.

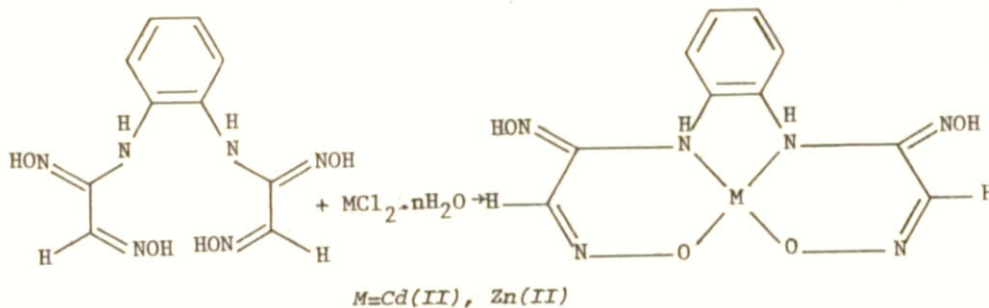
% 1 lik NaOH (etanolü) çözeltisi ile  $\text{pH}=3.5$  yapılan çözeltide kompleks tamamen ayrılır.

Kompleks süzülür, su, etanol ve eterle yıkandır. Verim:  $0.393 \text{ g}$  (% 78.13); e.n.  $229-230 \text{ }^\circ\text{C}$  (bozunma).

u.v.-vis(DMF): 490 nm ( $\epsilon=1040$ ), 360 nm ( $\epsilon= 7680$ ), 280 nm ( $\epsilon=7720$ ), 268 nm ( $\epsilon= 7850$ ).

Kahverengi renkte olan kompleks trifluor asetik asitte çözünür. Piridin, DMSO ve DMF de sıcakta çözünür. Etanol ve suda sıcakta az çözünür. Eter, benzen, toluen, kloroform, karbon sülfür, dioksan ve etil asetatta çözünmez.

#### 3.4.4. $\text{BH}_2\text{Cd}$



$0.280 \text{ g}$  ( $10^{-3} \text{ mol}$ )  $\text{BH}_4$ , 50 ml etanolde  $60-70 \text{ }^\circ\text{C}$  da subanyosu üzerinde çözülür ( $\text{pH}=6$ ) ve karıştırılarak  $0.2014 \text{ g}$  ( $10^{-3} \text{ mol}$ )  $\text{CdCl}_2 \cdot 6\text{H}_2\text{O}$  un 40 ml etanoldeki sıcak çözeltisi ilave edilir. Portakal sarısı renkte çökelti oluşur ( $\text{pH}=5.5$ ) ve 15 dakika sonra çökelti oluşumu tamamlanır.

Süzülür, su, etanol ve eterle yıkanır. Vakumda kurutulur,

Verim : 0.262 g (% 67.11); e.n. 225-227 °C (bozunma).

u.v.-vis(DMF): 325 nm ( $\epsilon=7120$ ), 272 nm ( $\epsilon=1160$ ), 268 nm ( $\epsilon=1330$ ).

Kompleks trifluor asetik asit ve DMF de çözünür. Piridin ve DMSO da sıcakta çözünür. Su, etanol, aseton, benzen, toluen, etil asetat, kloroform ve karbonsülfürde çözünmez.

#### 3.4.5. $\text{BH}_2\text{Zn}$

0.280 g ( $10^{-3}$  mol)  $\text{BH}_4$ , 50 ml etanolde su banyosu üzerinde 60-70 °C da çözülür ( $\text{pH}=6$ ) ve karıştırılarak 0.136 g ( $10^{-3}$  mol)  $\text{ZnCl}_2$  in 30 ml etanoldeki sıcak çözeltisi ilave edildiğinde  $\text{pH} \approx 4.5$  olur. 5 dakika sonra turuncu renkte kompleks ayrılmaya başlar ve çökme 1 saatte tamamlanır.

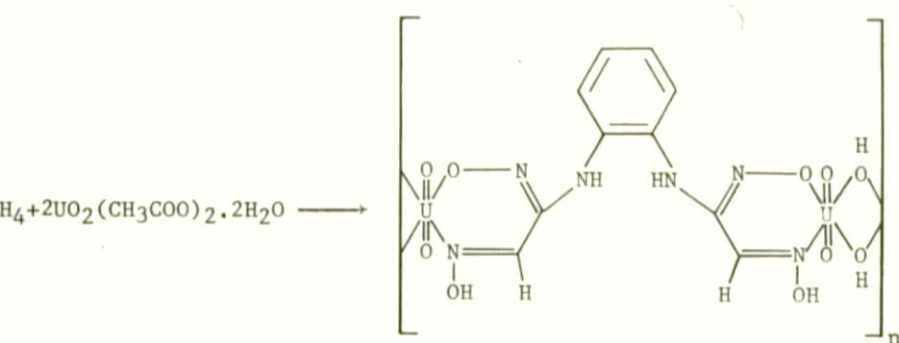
Süzülür, su, etanol ve eterle yıkanır. Vakumda kurutulur.

Verim: 0.242 g (% 70.55); e.n. 289 °C (bozunma).

u.v.- vis (DMF): 390 nm ( $\epsilon=210$ ), 272 nm ( $\epsilon=560$ ), 265 nm ( $\epsilon=690$ ).

Kompleks trifluor asetik asit ve DMF de çözünür. Etanol, DMSO ve sıcak suda az çözünür. Eter, benzen, toluen, kloroform, karbon sülfür ve etil asetatta çözünmez.

#### 3.4.6. $[(\text{UO}_2)_2(\text{OH})_2\text{BH}_2]_n$



0.280 g ( $10^{-3}$  mol)  $\text{BH}_4^-$ , 50 ml etanolde su banyosu üzerinde 60-70 °C da çözülür ( $\text{pH}=6$ ) ve karıştırılarak 0.848 g ( $2.10^{-3}$  mol)  $\text{UO}_2(\text{CH}_3\text{COO})_2 \cdot 2\text{H}_2\text{O}$  nun 80 ml etanoldeki sıcak çözeltisi ilave edilir. Hemen sarı-kahverengi çökelti oluşur ( $\text{pH}=5.5$ ). Bir süre daha karıştırıldığında pH değişmez. 15 dakika sonra çökme tamamlanır.

Kompleks süzüller, su, etanol ve eterle yıkılır. Vakumda kuru tutulur. Verim : 0.403 g (% 47.3); e.n. 221 °C (bozunma).

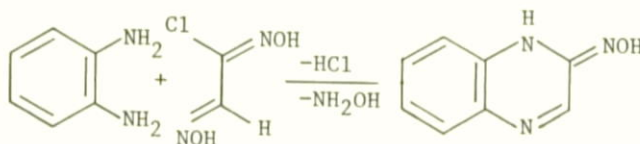
u.v.-vis(DMF): 145 nm ( $\epsilon=360$ ), 270 nm ( $\epsilon=1600$ ), 260 nm ( $\epsilon=1720$ ).

Kompleks trifluor asetik asitte çözünür. DMSO, DMF ve Piridinde sıcakta çözünür. Su, etanol, dioksan ve kloroformda çözünmez.

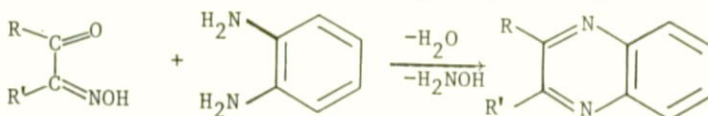
#### 4. SONUÇLARIN DEĞERLENDİRİLMESİ

##### 4.1. 2(1H)-Kinoksalinonoksim ve Bunun Metallerle Reaksiyonu

2(1H)-Kinoksalinonoksim'in (QH), 2-hidroksiimino-1,2,3,4-tetrahidrokinoksalinden sentezi daha önce yayınlanmıştır (36). Tetrahidro türevi N-(siyanometil)-o-fenilendiamin ve hidroksilaminden amonyak ayrılması sonucunda elde edilmiş (37) ve bunun azodikarboksilik etil esteri ( $C_2H_5CO_2-N=N-CO_2-C_2H_5$ ) ile dehidrogenasyondan, QH hazırlanmıştır (36). Bu çalışmada QH sentezi bir kademede başarılmıştır:



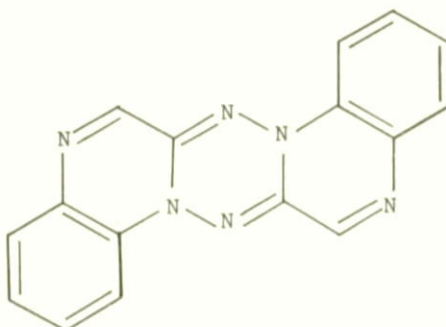
Bu reaksiyonda o-fenilendiamin ve anti-kloroglioksim kullanılmıştır. İlk önce asit klorürü o-fenilendiamin'in -NH<sub>2</sub> guruplarından birine katılırken, diğer -NH<sub>2</sub> oksimlerden biri ile reaksiyona gerek H<sub>2</sub>N-OH eliminasyonuyla azometin bağı meydana getirir. 6 üyesi kinoksalin halkası oluşumu muhtemelen bu reaksiyonun kolayca gerçekleşmesini sağlar. Oksim ve amine guruplarının azometin bağı oluşturdukları benzer siklizasyon reaksiyonları literatürde verilmiştir (29). Örneğin; o-fenilendiamin ve  $\alpha$ -oksimino ketonlardan kinoksalin türevlerinin sentezi bu şekilde gerçekleştirilmiştir.



$\text{QH}'$ 'ın i.r. spektrumunda, O-H stretching titreşimleri  $3220 \text{ cm}^{-1}$  de gözlenir.  $\nu(\text{C}=\text{N})$  ve  $\nu(\text{N}-\text{O})$  bandları  $1628$  ve  $982 \text{ cm}^{-1}$  dedir. Bu değerler literatürde amidoksimler için verilen değerlere uygundur (10).  $\text{QH}'$ 'ın  $^1\text{H-n.m.r}$  spektrumunda OH ve NH protonlarına ait kimyasal kayma değerleri  $10.60$  ve  $8.87 \text{ ppm}$  de ortaya çıkar ve bu bandlar döteryum oksit ilâve edildiğinde kaybolur. Bu iki banddan başka  $7.80 \text{ ppm}$  deki singlet ve  $7.6-6.7 \text{ ppm}$  deki multiplet  $\text{N}=\text{CH}$  ve aromatik protonlara tekabül eder.

Etanoldeki  $\text{QH}$  çözeltisine  $\text{CoCl}_2 \cdot 6\text{H}_2\text{O}$  çözeltisi ilâve edildiğinde su banyosu üzerinde çözeltinin rengi yavaş yavaş bordoya dönüşür ve parlak kristal bir ürün ayrılır. Bir kompleks elde edilmesi beklenirken, bu ürünün tamamen organik olduğu ve  $\text{C}_{16}\text{H}_{10}\text{N}_6$  kapalı formülüne uyduğu tesbit edilmiştir. Azot atmosferi altında çalışıldığında da aynı ürün elde edilmektedir. Yeni bir heterosiklik halka sistemi, s-tetrazino[1,6-a:4,3-a']-dikinoksalin (TAD), olduğu belirlenen bu maddenin i.r. spektrumunda N-H ve O-H guruplarına ait titreşimler kaybolmuştur. C-H stretching titreşimleri  $3050 \text{ cm}^{-1}$  de görülmektedir. Trifluoroasetik asit içerisinde alınan  $^1\text{H-n.m.r}$  spektrumunda  $10.5 \text{ ppm}$  deki çözücüye ait geniş pikten başka, 2 band mevcuttur;  $8.5-7.7 \text{ ppm}$  deki multiplet aromatik protonlara ve  $9.5 \text{ ppm}$  deki singlet ise, azometin gurubuna komşu CH protonlarına aittir. CH: aromatik protonlar oranı  $1:4$  tür. Bulunan kimyasal kayma değerleri, diğer bir tetrazino türevi olan 1,2,4,5-tetrazino[1,6-C: 3,2-C'] veya [1,6-C:4,3-C']-dikinazolin için verilen değerlere uyum göstermektedir (38).

TAD'nın kütle spektrumunda M piki yerine oldukça şiddetli bir  $M+2$  piki görülmektedir. Bu durum s-tetrazinler için karakteristik tir (39). Molekül iyonu pikinin görülmmediği veya çok zayıf olduğu, bunun yerine  $M+1$  ve  $M+2$  ye tekabül eden piklerin ortaya çıktığı birçok madde bilinmektedir. Özellikle ester, eter, amin, aminoeste-

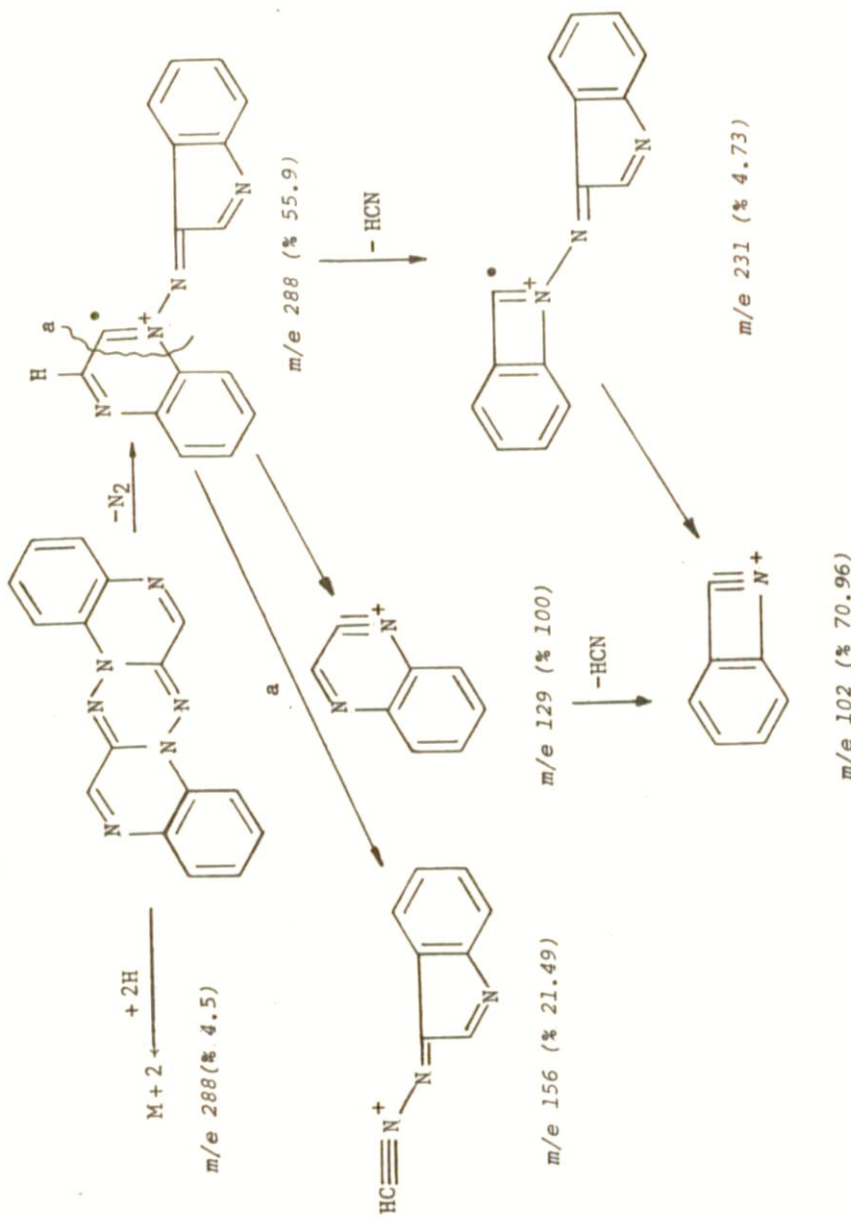


*s-tetrazino [1,6-a:4,3-a']  
dikenoksolin (TAD)*

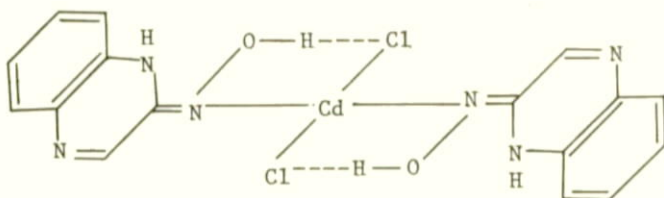
ve nitrillerde bu durum daha sık olarak ortaya çıkar. Bunun nedeni nötral bir moleküldeki bir protonun moleküller iyon tarafından koparılmasıdır(40). Tetrazin halkasında 4 azotun bulunması iki proton koparılmasına sebep olabilir. Molekülün kütle spektrumundaki parçalanma biçimini aşağıdaki şemada gösterilmiştir.

Co(II) yerine Ni(II) kullanıldığında yine TAD elde edilmiş, fakat burada ayrıca siyah kristal halinde kompleks bir ürün de oluşmuştur. TAD sıcak alkolde çözülmerek alındığında geriye kalan siyah madde,  $C_{32}H_{20}N_{12}Ni$  kapalı formülüne uygun gelmektedir. Çözünürlüğü çok az olan bu maddenin yapısı belirlenmemiştir.

$QH$ , Cu(II), Cd(II) ve Zn(II) iyonları ile koordinasyon bileşiği oluşturmaktadır. Cu(II) ve Cd(II) kompleksinde metal-ligand oranı 1:2 dir; ayrıca herbir metal iyonuna iki  $Cl^-$  tekabül etmektedir.  $\alpha$  ve  $\beta$ -kamforkinon dioksim gibi tek dişli ligand olarak koordinasyona giren bileşiklerin kompleksleri için çeşitli yapılar önerilmiştir (41).  $QH$ 'in da Cu(II) ve Cd(II) komplekslerinde monodentat bir li-



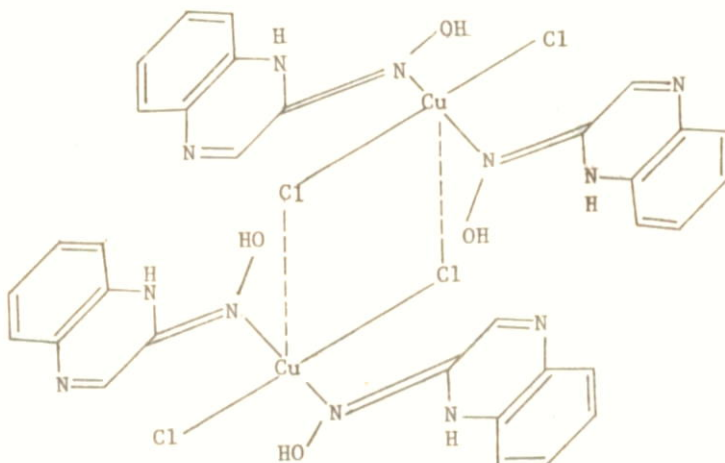
gand olarak hareket ettiği düşünülebilir.



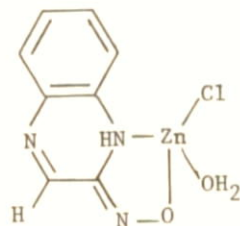
$\text{Cu(II)}$  kompleksinin  $^1\text{H-n.m.r. spektrumu}$   $\text{CF}_3\text{COOH}$  da alınabilmiş ve 11.00 ppm de çözücüye ait çok geniş pik nedeniyle OH protonlarının kimyasal kaymaları gözlenmemiştir.  $\text{Cd(II)}$  kompleksinin  $\text{DMSO-d}_6$  içerisinde alınan spektrumu 10.4 ppm de OH'a ait kimyasal kaymayı göstermektedir. 7.9 ppm de NH, 7.5 ppm de N=CH a ait singlet, 7.4-6.9 ppm de aromatik protonlar ortaya çıkmıştır. İntegral eğrisi de bu protonlar için 1:1:1:4 oranlarını göstermektedir.

$[(\text{QH})_2\text{Cl}_2\text{Cu}]_2$  kompleksinde OH stretching frekansı  $3160 \text{ cm}^{-1}$  e kaymakta, C=N bandında bir değişiklik olmaz iken, N-O bandı zayıf-ınamaktadır.  $\text{Cd(II)}$  kompleksinde  $3340 \text{ cm}^{-1}$  de  $\nu(\text{NH})$ ,  $3260 \text{ cm}^{-1}$  de  $\nu(\text{OH})$ ,  $1640 \text{ cm}^{-1}$  de  $\nu(\text{CN})$ ,  $960 \text{ cm}^{-1}$  de  $\nu(\text{NO})$  bandları görülmektedir.

Magnetik suszeptibilite ölçümleri sonucunda  $\text{Cu(II)}$  kompleksinin diamagnetik olduğu tesbit edilmiştir.  $d^9$  konfigürasyonundaki bir iyonun paramagnetik olması beklenirken diamagnetik çıkması, kompleks yapısının binükleer olduğunu göstermektedir. Binükleer komplekste molekül içi etkileşim sonucunda anti-ferromagnetizm özelliği ortaya çıkmaktadır (42). Bu sonuçlara dayanarak  $\text{Cu(II)}$  kompleksinin aşağıdaki dimerik yapıda olduğu düşünülmüştür:

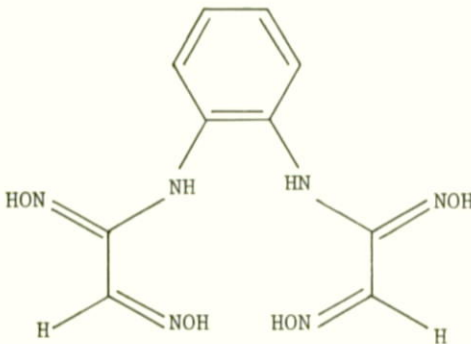


Kadmiyum kompleksinin aksine  $\text{Zn}(\text{II})$  kompleksi mononükleerdir.  $\text{D}_6\text{SO-d}_6$  içerisinde alınan  $^1\text{H-n.m.r.}$  spektrumunda ( $\text{OH}$ ) protonunun kaybolduğu gözlenmektedir. I.r. spektrumunda da  $3440 \text{ cm}^{-1}$  civarında koordinasyona girmiş  $\text{H}_2\text{O}$  moleküline ait geniş band ortaya çıkmıştır. Elementel analiz sonucuna göre  $(\text{Q})\text{Cl}(\text{H}_2\text{O})\text{Zn}$  şeklinde gösterebileceğimiz kompleksin muhtemel yapısı şöyledir:



#### 4.2. Benzen-1,2-bis(aminoglioksim) ( $BH_4$ ) ve Kompleksleri

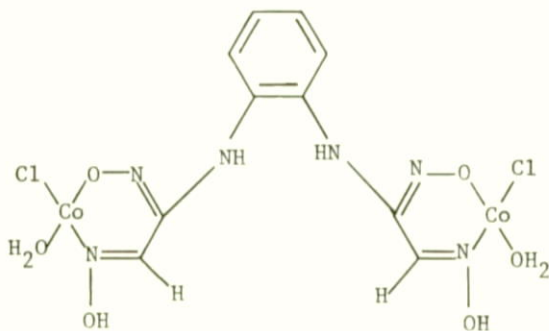
Benzen-1,2-bis(aminoglioksim) ( $BH_4$ ),  $\alpha$ -fenilendiamin ile anti-kloroglioksimde düşük sıcaklıkta (-5 °C) sodyum hidroksid çözeltisi ilâve etmek suretiyle sentez edilmiştir. Bu reaksiyon oda sıcaklığında yapıldığında 2(1H)-kinoksalinon oksim elde edilmiştir.



$BH_4$ 'ün yapısı,  $^1H$ -n.m.r. ve i.r. spektrumları ile elementel analiz sonuçlarına göre aydınlatılmıştır.  $^1H$ -n.m.r. spektrumunda NH, N=C-H ve aromatik protonlara ait kimyasal kaymalar sırayla 8.2, 7.5 ve 7.0-6.6 ppm de görülmüştür. Farklı çevre etkisi ile OH protonları iki geniş singlet halindedir. Bunlardan daha zayıf alandaki (11.4 ppm) amidoksim gurubundaki (OH) protonlarına, diğeri de (10.8 ppm) aldoksim gurubundaki (OH) lara aittir (18,42). (NH) ve (OH) protonlarının pikleri  $D_2O$  ilâve edildiğinde döteryum değişimi sonunda kaybolmaktadır (15-18,22). I.r. spektrumunda (NH) ve (OH) stretching titreşimleri  $3320$  ve  $3200\text{ cm}^{-1}$  de görülmektedir. (NH) deformasyon ve (C=N), (N-O) stretching bandları ise sırayla  $1595$ ,  $1645$  ve  $975\text{ cm}^{-1}$  dedir. Bu değerler literatürde vic-dioksimler için verilenlere uyum göstermektedir (13,15-18, 21, 22).

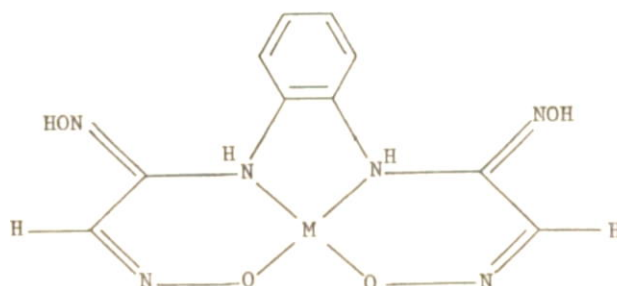
gelmiş olması mümkünündür. Bu veriler 4,4'-bis(1,2-dihidroksiimino-propil) bifenil'in Ni(II) kompleksinde olduğu gibi polimerik bir yapının önerilmesini mümkün kılar (44).

$\text{BH}_4^-$ 'ün Co(II) kompleksinde metal-ligand oranı 2:1 dir. I.r. spektrumunda  $3500 \text{ cm}^{-1}$  civarında geniş bir band bulunduğuundan komplekte koordinatif olarak bağlanmış  $\text{H}_2\text{O}$  moleküllerinin bulunduğu düşünülebilir. ( $\text{C}=\text{N}$ ) stretching titreşimleri çok az miktarda düşük frekansa kaymıştır ( $1610 \text{ cm}^{-1}$ ). Kompleksin magnetik momenti  $\mu_{\text{eff}} = 3.2 \text{ BM}$  dir; bu da çiftleşmemiş iki elektronun bulunduğu gösterir. Sonuç olarak, düzlemsel N ve O koordinasyonu yapmış binükleer bir kompleks düşünülebilir.



$\text{BH}_4^-$ 'ün Cd(II) ve Zn(II) komplekslerinde metal-ligand oranı 1:1 dir ve bu komplekslerin i.r. spektrumları hemen hemen aynıdır.  $3230 \text{ cm}^{-1}$  de oksim guruplarına ait ( $\text{OH}$ ) stretching titreşimleri görülür. Serbest liganda  $1595 \text{ cm}^{-1}$  de çıkan ( $\text{NH}$ ) deformasyon bandı  $1570 \text{ cm}^{-1}$  e kaymıştır; bu sonuç Metal-NH koordinasyonu olarak yorumlanabilir. ( $\text{C}=\text{N}$ ) stretching bandları her iki komplekste de herhangi bir kayma göstermemiştir. Elementel analiz ve i.r. spektrumlarından elde edi-

len bilgiler, Cd(II) ve Zn(II) komplekslerinin aşağıda verilen yapıda olduğunu göstermektedir;

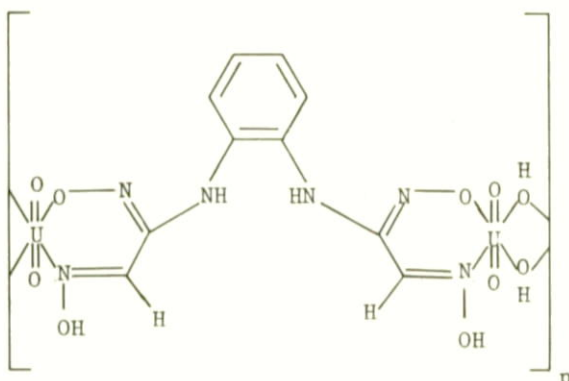


$M=Cd(II), Zn(II)$

$BH_4^-$ 'ün diamagnetik uranil kompleksinde de elementel analiz sonuçlarına göre metal-ligand oranının 2:1 olduğu bulunmuştur.  $N,N'$ -bis(4'-benzo[15-crown-5]) diaminoglioksime uranil kompleksi için  $^1H$ -n.m.r. ve i.r. sonuçlarına dayanılarak hidrokso köprülü bir yapı önerilmiştir (15). Benzer bir dimerik yapı anorganik  $[NO_3]_2UO_2(OH)_2UO_2(H_2O)_3 \cdot H_2O$  için de verilmiştir (45,46).  $UO_2$ (VI) kompleksinin i.r. spektrumunda  $900\text{ cm}^{-1}$  de görülen şiddetli band  $\nu(O=U=O)$  titreşimine aittir (15-17, 47). Uranil kompleksi için önerilen hidrokso-köprülü polimer yapısı aşağıdaki şekilde gösterilmiştir.

Komplekslerin uygun çözümlerde çözünürlüklerinin az olması molekül ağırlığı tayinini engellemiştir ve özellikle polimer yapıdaki komplekslerde n polimerizasyon derecesinin belirlenmemesine sebep olmuştur.

$BH_4^-$  kompleksleri genel olarak incelendiğinde moleküldeki iki dioksime gurubunun  $Cu(II)$ ,  $Ni(II)$ ,  $Co(II)$  ve  $UO_2$ (VI) metal iyonlarına karşı iki izole vic-dioksime şeklinde bir veya poli-nükleer kompleksler verdiği,  $Cd(II)$  ve  $Zn(II)$  iyonları takdirinde ise iki vic-



dioksimin beraber koordinasyona girerek mono-nükleer kompleksler oluşturdukları sonucuna varılmıştır.

## 5. EKLER

Tablo I : QH, TAD,  $BH_4$  ve Komplekslerinin, Magnetik Momentleri ve Elementel Analiz Sonuçları

Tablo II : QH, TAD ve Komplekslerinin Karakteristik i.r. Bandları ( $cm^{-1}$ ) (KBr pallet)

Tablo III :  $BH_4$  ve Komplekslerinin Karakteristik i.r. Bandları ( $cm^{-1}$ ) (KBr pallet)

Tablo IV : QH, TAD ve Bazı Geçiş Metali Komplekslerinin  $^1H$ -n.m.r. Spektrumları,  $\delta$ (ppm)

Tablo V :  $BH_4$  ün DMSO- $d_6$  da  $^1H$ -n.m.r. Spektrumu,  $\delta$ (ppm)

BİLEŞİK	Magnetik Moment $\mu_{eff}$	HESAPLANAN (BULUNAN)				
		% C	% H	% N	% Me	% Cl
QH	-	59.63 (59.57)	4.35 (4.32)	26.09 (26.10)	-	-
C <sub>32</sub> H <sub>20</sub> N <sub>12</sub> Ni	Diamagnetik	60.86 (60.98)	3.17 (3.11)	26.62 (26.68)	9.35 (9.28)	-
TAD	-	67.13 (66.43)	3.50 (3.50)	29.37 (29.04)	-	-
[ (QH) <sub>2</sub> CuCl <sub>2</sub> ] <sub>2</sub>	Diamagnetik	42.06 (42.04)	3.06 (2.98)	18.40 (18.10)	13.91 (13.82)	15.56 (15.44)
(QH) <sub>2</sub> CdCl <sub>2</sub>	-	37.98 (37.70)	2.77 (2.74)	16.62 (16.41)	22.24 (22.11)	14.05 (13.90)
(Q)ZnCl(OH <sub>2</sub> )	-	34.48 (34.34)	2.87 (2.90)	15.08 (14.91)	23.34 (23.26)	12.75 (12.66)
BH <sub>4</sub>	-	42.85 (42.69)	4.28 (4.26)	30.00 (29.92)	-	-
(BH <sub>2</sub> Ni) <sub>n</sub>	Diamagnetik	35.60 (35.64)	2.97 (3.04)	24.92 (24.68)	17.51 (17.48)	-
(BH <sub>2</sub> Cu) <sub>n</sub>	0.99 B.M.	35.14 (35.04)	2.92 (2.71)	24.60 (24.44)	18.59 (18.55)	-
(BH <sub>2</sub> )Co <sub>2</sub> Cl <sub>2</sub> (OH <sub>2</sub> ) <sub>2</sub>	3.2 B.M.	23.86 (23.77)	2.78 (2.83)	16.69 (16.74)	23.46 (23.40)	14.11 (13.98)

Ek. I. Tablo I. (devam)

$\text{BH}_2\text{Cd}$	-	30.74 (30.92)	2.56 (2.46)	21.52 (21.72)	28.79 (28.95)	-
$\text{BH}_2\text{Zn}$	-	34.98 (35.11)	2.92 (2.89)	24.48 (24.40)	18.95 (18.70)	-
$[\text{UO}_2]_2(\text{OH})_2\text{BH}_2\text{Ln}$	Diamagnetik	14.08 (14.18)	1.41 (1.43)	9.86 (9.87)	55.87 (55.80)	-

Ek. I. Tablo II. QH, TAD ve Komplekslerinin Karakteristik i.r. Bandları ( $\text{cm}^{-1}$ ) (KBr pallit)

BİLESİK	N-H $\nu$	O-H $\nu$	Arom. C-H $\nu$	C=N $\nu$	N-H $\delta$	N-O	DİĞER BANDLAR
QH	3410	3220	3045	1628	1610	982	-
TAD	-	-	3050	1605	-	-	-
$[(\text{QH})_2\text{CuCl}_2]_2$	3440	3160	3060	1630	1600	990	-
$(\text{QH})_2\text{CdCl}_2$	3340	3260	3060	1640	1610	960	-
$[(\text{Q})\text{Cl}(\text{H}_2\text{O})\text{Zn}]$	3400	-	3040	1665	1590	950	-

Ek.I. Tablo III.  $\text{BH}_4^-$  ve Komplekslerinin Karakteristik i.r. Bandları ( $\text{cm}^{-1}$ ) (KBr palette)

BİLEŞİK	N-H $\nu$	O-H $\nu$	Arom. C-H $\nu$	O-H...O $\delta$	C=N $\nu$	N-H $\delta$	N-O $\nu$	DİĞER BANDLAR
$\text{BH}_4^-$	3440 3320	3200	3070	-	1645	1595	975	-
$(\text{BH}_2\text{Ni})_n$	3410	-	3030	1740	1610	1590	990	-
$(\text{BH}_2\text{Cu})_n$	3440	-	3040	1740	1620	1570	995	-
$(\text{BH}_2)\text{Co}_2\text{Cl}_2(\text{OH}_2)_2$	3410	3220	3060	-	1610	1590	985	-
$\text{BH}_2\text{Cd}$	3430	3240	3060	-	1630	1570	960	-
$\text{BH}_2\text{Zn}$	3400	3220	3045	-	1630	1570	955	-
$[(\text{UO}_2)(\text{OH})_2\text{BH}_2]_n$	3400	3210	3060	-	1610	1585	980	$\nu(\text{O=U=O})900 \text{ cm}^{-1}$

Ek. I. Tablo IV. QH, TAD ve Bazi Geçiş Metalî Komplekslerinin  $^1\text{H}$ -n.m.r. Spektrumları,  $\delta$ (ppm)

BİLESİK	$\text{O}-\underline{\text{H}}$	$\text{N}-\underline{\text{H}}$	$-\text{N}=\text{C}-\underline{\text{H}}$	<u>H</u> -arom.
QH <sup>a</sup>	10.8(1H, <i>s</i> )	8.1(1H, <i>s</i> )	7.8(1H, <i>s</i> )	7.6-7.35(4H, <i>m</i> )
TAD <sup>b</sup>	-	-	9.5(2H, <i>s</i> )	8.5-7.7(8H, <i>m</i> )
$[(\text{QH})_2\text{CuCl}_2]_2^b$	-	8.2(4H, <i>s</i> )	7.8(4H, <i>s</i> )	7.6-7.0(16H, <i>m</i> )
$(\text{QH})_2\text{CdCl}_7^a$	10.4(2H, <i>s</i> )	7.9(2H, <i>s</i> )	7.5(2H, <i>s</i> )	7.4-6.9(8H, <i>m</i> )
$(\text{Q})\text{Cl}(\text{H}_2\text{O})\text{Zn}^a$	-	8.2(1H, <i>s</i> )	7.9(1H, <i>s</i> )	7.7-7.1(4H, <i>m</i> )

<sup>a</sup> Gözücü : DMSO-d<sub>6</sub>

<sup>b</sup> Gözücü : CF<sub>3</sub>COOH

Ek. I. Tablo V.  $\text{BH}_4^-$  için DMSO-d<sub>6</sub> da <sup>1</sup>H-n.m.r. Spektrumu δ(ppm)

BİLEŞİK	O-H	O-H	N-H	-N=C-H	H-arom.
$\text{BH}_4^-$	11.4(2H, s)	10.8(2H, s)	8.2(2H, s)	7.5(2H, s)	7.0-6.6(4H, m)

## 6. REFERANSLAR

1. Ö. BEKÄROĞLU, Koordinasyon Kimyası, İstanbul, İ.Ü. yayınları, (1972).
2. G.N. SCHRAUZER, J. KOHNLE, Chem. Ber., 97(1964), 3056
3. G.N. SCHRAUZER and R.J. WINDGASSEN, J. Am. Chem. Soc., 89(1967), 1999.
4. N. TAN and Ö. BEKÄROĞLU, Synth. React. Inorg. Met-Org. Chem., 13 (1983), 667.
5. N. BIÇAK and Ö. BEKÄROĞLU, Bogaziçi Üniversitesi Dergisi-Chemical Eng., 8-9(1980-81), 15.
6. S. PENG, G.C. GORDON and V.L. GOEDKEN, Inorg. Chem., 17 (1978), 119.
7. V.L. GOEDKEN and S. PENG, J. Chem. Soc. Chem. Comm., (1973) 62.
8. J.P. CANDLIN, K.A. TAYLOR, and D.T. THOMPSON, "Reactions of Transition Metal Complexes", Elsevier, Amsterdam, (1968), s.87.
9. P.A.S. SMITH, "The Chemistry of Open-Chain Organic Nitrogen Compounds, Vol II", New-York, Benjamin, (1966), s. 29.
10. F. ELOY and R. LEANERS, Chem. Rev., 62 (1962), 165.
11. S. PATAI, "The Chemistry of Carbon-Nitrogen Double Bond", London, Interscience Publishers, (1970), s.383.
12. "Methoden der Organischer Chemie (Houben-Weyl)", Band 10/IV, Stuttgart, Georg Thieme Verlag, (1968), s.335.
13. A. GÜL and Ö. BEKÄROĞLU, Synth. React. Inorg. Met.-Org. Chem., 12 (1982), 889.
14. E. FISCHER, Ber. Dtsch. Chem. Ges., 22 (1889), 1930.

15. A. GÜL and Ö. BEKÂROĞLU, J.Chem.Soc.Dalton Trans., (1983), 2537
16. K. KARADENİZ and Ö. BEKÂROĞLU, Synth. React. Inorg. Met-Org. Chem., 13 (1983),
17. C. BANK and Ö. BEKÂROĞLU, Synth. React. Inorg. Met.-Org.Chem., 13 (1983),
18. G. İREZ and Ö. BEKÂROĞLU, Synth. React. Inorg.Met.-Org.Chem., 13 (1983), 781.
19. C. GRUNDMANN, V. MINI, J.M. DEAN, and H.D. FROMMELD, Liebigs Ann. Chem., 687 (1965), 191.
20. N.E. ALEXANDROU and D.N. NICOLAIDES, J.Chem.Soc.C, (1969), 2319.
21. Y. GÖK and Ö. BEKÂROĞLU, Synth. React. Inorg.Met.-Org. Chem., 11 (1981), 621.
22. S. SERİN and Ö. BEKÂROĞLU, Z. Anorg. Allg. Chem., 496 (1983) 197.
23. J.P. FREEMAN, Chem. Rev., 73 (1973), 283.
24. L. CLAISEN and O. MANASSE, Berr.Dtsch.Chem.Ges., 22 (1889), 530.
25. J.P. FREEMAN, J. Org.Chem., 26 (1961), 4190.
26. M.O. FORSTER, J. Chem. Soc., 107 (1915), 260.
27. J.B. WRIGHT, J. Org. Chem., 29 (1964), 1620.
28. H. GNICHTEL and H.J. SCHÖNHERR, Chem.Ber., 99 (1966), 618.
29. "Methoden der Organischen Chemie-Stickstoff Verbindungen I X/4", Stuttgart George Thime Verlag, (1968), s.278.
30. A. CHAKRAVORTY, Coord. Chem.Rev., 13 (1974), 1-46.
31. L. TSCHUGAEFF and J. SURENJANZ, Berr.Dtsch.Chem.Ges., 40 (1907) 181
32. Ö. BEKÂROĞLU, S. SARISABAN, A.R. KORAY, and M.L. ZIEGLER, Z. Naturforsch., 32B (1977), 387.
33. Ö. BEKÂROĞLU, S. SARISABAN, A.R. KORAY, B. NUBER, K. WEIDENHAMMER, J. WEISS, and M.L. ZIEGLER, Acta Crystallogr., B34 (1978), 3591.

34. S. SARISABAN, H. WYDEN, and Ö. BEKÂROĞLU, Termochim. Acta., 25 (1978) 349.
35. J. HAUBEN, and H. KAUFMANN, Berr. Dtsch. Chem. Ges., 46 (1913), 2821.
36. K. HARSANYI, C. GÖNCZI, and D. KORBONITS, Liebigs Ann. Chem., (1973), 190.
37. K. HARSANYI, C. GÖNCZI, G. HORVATH, and D. KORBONITS, Chem. Ber., 105 (1972), 805.
38. R.A. BOWIE, M.D. GARDNER, D.G. NEILSON, K.M. WATSON, S. MAHMOOD, and V. RIDD, J. Chem. Soc. Perkin I. (1972), 2395.
39. P. YATES, O. MERESZ, and L.S. WEILER, Tetrahedron Lett., (1968), 3929.
40. F.W. McLAFFERTY, "Interpretation of Mass Spectra", W.A. Benjamin, Inc., London, (1973), p.36.
41. M.S. Ma and R.J. ANGELICI, Inorg. Chem., 19 (1980), 363.
42. J.P. GUETTE, J. ARMOND, and L. LACOMBE, C.R. Acad. Sci. Paris, 264 (1967), 1509.
43. A. NAKAMURA, A. KONISHI, and S. OTSUKA, J. Chem. Soc. Dalton Trans., (1979), 488.
44. M.E.B. JONES, D.A. THORNTON, and R.F. WEBB, Makromol. Chem., 49 (1961), 69.
45. A. PERRIN, Acta Crystallogr., Sect. B, 32 (1976), 1658.
46. U. CASELLATO, P.A. VIGATO, and M. VIDALI, Coord. Chem. Rev., 36 (1981), 259.
47. U. CASELLATO, M. VIDALI, P.A. VIGATO, Coord. Chem. Rev., 28 (1979), 238.

## 7. ÖZGEÇMİŞ

1950 yılında Amasya'nın Ayvalıpinar köyünde doğdum. İlköğretimimi aynı yerde tamamladıktan sonra 1962 yılında Akpınar İlköğretim okuluna girdim. 1967-68 öğrenim yılında İzmir Yüksek Öğretmen Okulu Hazırlık sınıfından mezun oldum. Aynı yıl İÜ. Kimya Fakültesi Kimya Lisans Bölümüne girip, 1973 Haziran döneminde mezun oldum.

İstanbul'da, bir yıl özel Arı Dersanesi ve üç yıl Özel Uğur Dersanelerinde Kimya Öğretmenliği yaptım.

1977 Haziranında KTÜ. Temel Bilimler Fakültesi Kimya Bölümüne Asistan olarak girdim. Halen KÜ. Fen-Edebiyat Fakültesi Kimya Bölümünde Araştırma Görevlisi olarak çalışmaktadır.  
Evli ve bir çocuğum vardır.